

ДВУХФОНОННЫЕ ПРОЦЕССЫ И МЕЖЗОННЫЕ ПЕРЕХОДЫ В МАГНИТОФОНОННОМ РЕЗОНАНСЕ ДЫРОК В InSb

Шерегий Е. М., Угрин Ю. О.

Для интерпретации сложной структуры осцилляций поперечного магнитосопротивления μ_{InSb} в направлениях [111] и [011] определены параметры валентной зоны при $T=77 \text{ К}$: $\gamma_1=33.2$, $\gamma_2=14.8$, $\gamma_3=15.5$, $k=13.4$. Наряду с магнитофононным резонансом легких и тяжелых дырок обнаружены двухфононный резонанс и пики, обусловленные переходами между уровнями Ландау зон легких и тяжелых дырок.

Как отмечалось в работе [1], до настоящего времени не решена проблема однозначного определения параметров валентной зоны InSb. Набор параметров Латинжера γ_1 , γ_2 , γ_3 , k , полученный из спектра диамагнитных экситонов [2], удовлетворяет и другим типам переходов при низких температурах [3]. Однако для области более высоких температур $T \geq 77 \text{ К}$ необходим поиск другого набора параметров хотя бы из-за того, что существенно изменяется ширина запрещенной зоны E_g . Решению этой проблемы путем интерпретации экспериментальных данных по магнитофононному резонансу (МФР) тяжелых дырок посвящены работы [1, 4]. В то же время если энергетический спектр тяжелых дырок практически не изменяется с температурой, то этого нельзя сказать о легких дырках [5]. Поэтому набор параметров Латинжера при $T=77 \text{ К}$ должен одновременно определять и изменившийся спектр легких дырок (равно как и электронов, если говорить о полном наборе параметров).

Данная работа инициирована попытками обнаружить и исследовать двухфононные процессы в МФР на дырках в InSb. Обнаруженная богатая структура осцилляций поперечного магнитосопротивления не поддавалась расшифровке при использовании предложенных в [4] или [5] наборов параметров. Оказалось необходимым решить задачу однозначного определения этих параметров при $T=77 \text{ К}$ через решение независимых уравнений, опирающихся на положение в магнитном поле достоверно идентифицированных пиков МФР легких и тяжелых дырок для двух ориентаций кристаллографических осей по отношению к направлению напряженности магнитного поля ($H \parallel [111]$ и $H \parallel [011]$).

Такой расчет энергий уровней Ландау легких и тяжелых дырок позволил интерпретировать все уверенно наблюдавшиеся пики.

Для исследований были отобраны методом лазерного сканирования [8] две пары однородных образцов размерами $7 \times 2 \times 0.2 \text{ мм}$. Плоскости образцов совпадали или с плоскостью (111), или с плоскостью (011) в пределах $\pm 6'$. Их поверхности обрабатывались травителем, обеспечивающим минимальный вклад поверхностных дефектов в гальваномагнитные и фотоэлектрические измерения. Методом, описанным в работе [7], были измерены концентрации и подвижности легких и тяжелых дырок при 77 К : $p_1^l = 9 \cdot 10^{10} \text{ см}^{-3}$, $\mu_1^l = 1.1 \cdot 10^5 \text{ см}^2/\text{В} \cdot \text{с}$, $p_1^h = 1.2 \cdot 10^{13} \text{ см}^{-3}$, $\mu_1^h = 8300 \text{ см}^2/\text{В} \cdot \text{с}$, $p_2^l = 6 \cdot 10^{11} \text{ см}^{-3}$, $\mu_2^l = 8 \cdot 10^4 \text{ см}^2/\text{В} \cdot \text{с}$, $p_2^h = 8 \cdot 10^{13} \text{ см}^{-3}$, $\mu_2^h = 5100 \text{ см}^2/\text{В} \cdot \text{с}$.

На рис. 1, 2 показаны примеры экспериментальных записей $\partial^2 p_{xx} (H) / \partial H^2$, полученных в импульсных магнитных полях по методике, аналогичной [1, 4]. На кривых 1, 2, полученных при $H \parallel [111]$, четко наблюдается серия пиков при напряженностях магнитного поля 256, 194, 157, 131, 114 кЭ и т. д. Этот ряд

хорошо согласуется с соотношениями чисел соответственно $3:4:5:6:7$ и с данными работ [1, 4], где эта серия пиков интерпретируется как МФР на тяжелых дырках. Правда, периодичность этой серии нарушается в области от 120 до 150 кЭ на экспериментальной записи 2, полученной от второго образца

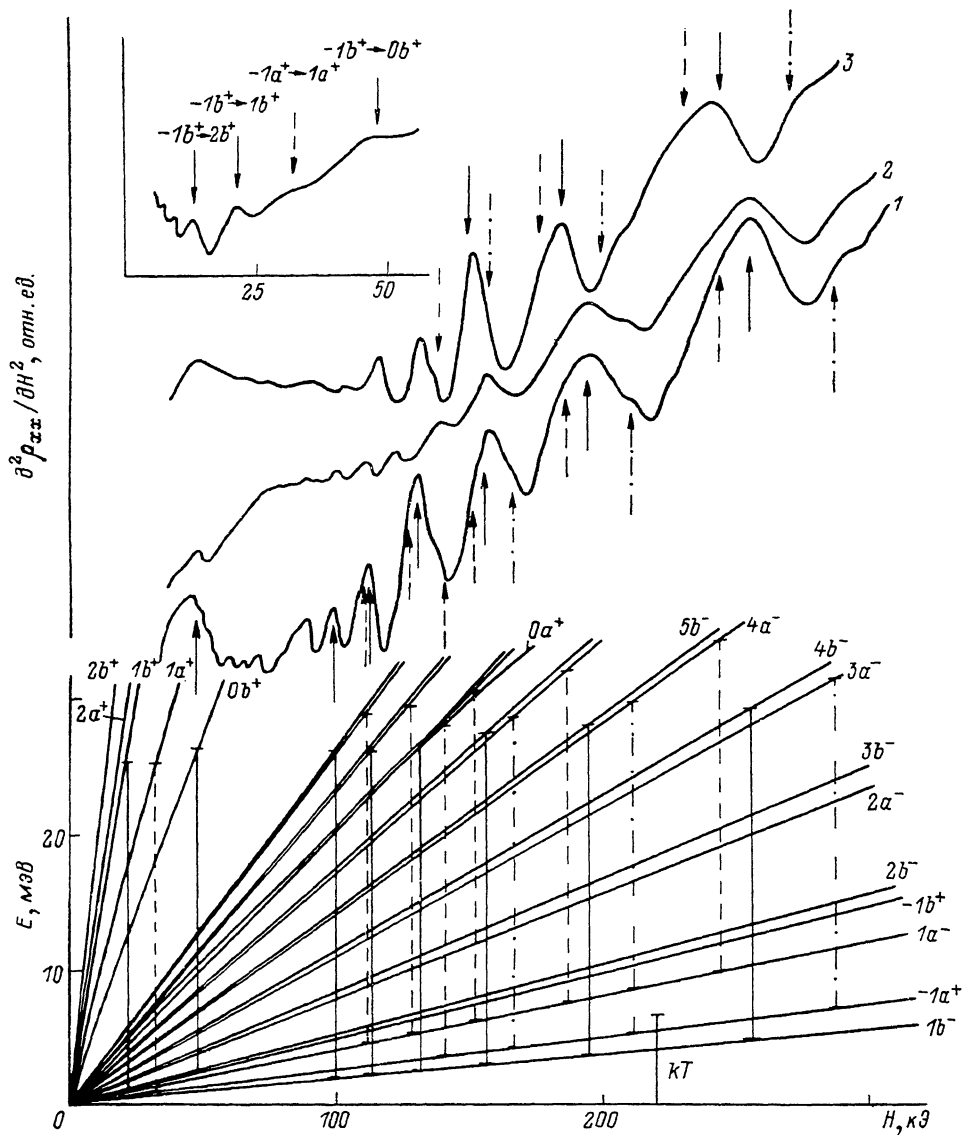


Рис. 1. Экспериментальные записи кривых второй производной поперечного магнитосопротивления по магнитному полю и зависимость энергетических уровней дырок от магнитного поля при $T=77$ К.

1 — образец 1 при $H \parallel [111]$, 2 — образец 2 при $H \parallel [111]$, 3 — образец 2 при $H \parallel [001]$. Цепи отрезков, показывающие переходы, соответствуют энергии продольного оптического фона $\hbar\omega_{LO}=24.4$ мэВ. Стрелками вверху обозначены расчетные значения положений соответствующих резонансных полей при $H \parallel [001]$. На вставке — серия резонансных максимумов легких дырок при $H \parallel [111]$ и их расчетные положения в магнитном поле.

с несколько большей концентрацией легких дырок. Видно, что здесь «внедрился» пик при 141 кЭ, который проявился и на кривой 1, но значительно слабее. Аналогичная ситуация наблюдается и при $H \parallel [001]$, где в области 110–140 кЭ этот ряд смещен в сторону меньших полей на 6 %.

В магнитных полях ниже 50 кЭ при $T=77$ К наблюдается серия интенсивных пиков (основная серия) при 48, 21.5, 14, 10 кЭ и т. д. Кроме того, имеются и более слабые пики при 32 и 17 кЭ (слабая серия). Вполном согласии с [5]

ники этих двух серий следует интерпретировать как МФР на легких дырках: основная серия — переходы с уровня $-1b$,¹ а слабая серия — с уровня $-1a$ [в [5] показано, что вероятность первых в 2.27 раза выше, чем вторых].

Надежно наблюдавшиеся и однозначно идентифицированные пики МФР на тяжелых и легких дырках были использованы для определения параметров алентной зоны при $T=77$ К и при более высоких температурах. Вычисления проводились с помощью трех независимых уравнений:

$$\begin{aligned} E(5b_{[111]}) - E(1b_{[111]}) &= \hbar\omega_{L0} \quad (H_{\text{рез}} = 194 \text{ кО}), \\ E(5b_{[011]}) - E(1b_{[011]}) &= \hbar\omega_{L0} \quad (H_{\text{рез}} = 185 \text{ кО}), \\ E(1b^+) - E(-1b^+) &= \hbar\omega_{L0} \quad (H_{\text{рез}} = 21.5 \text{ кО}). \end{aligned} \quad (1)$$

При вычислении энергий уровней Ландау применялась модель Пиджена—Брауна [8], развитая в [9] (для энергий подзон легких дырок использовалась

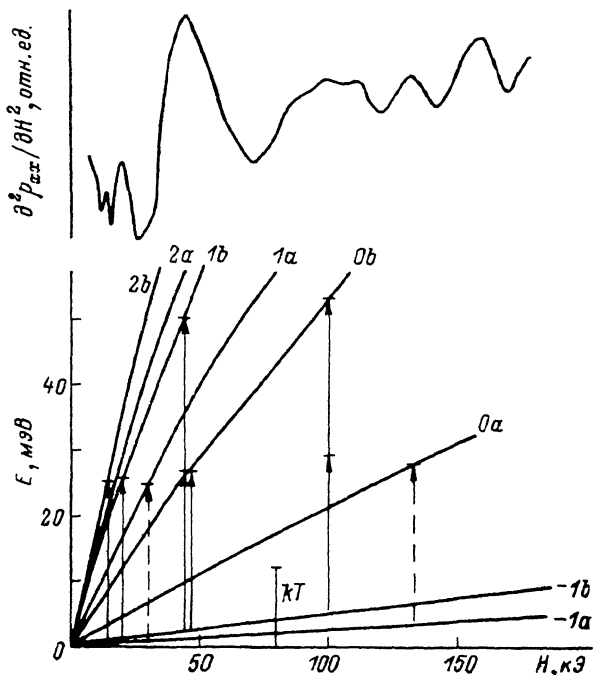


Рис. 2. Экспериментальная кривая второй производной поперечного магнитосопротивления по магнитному полю и зависимость энергетических уровней легких дырок от магнитного поля при $T=140$ К и $H \parallel [111]$.

Расчет проведен со значениями параметров Латинжера $\gamma_1=35.2$, $\gamma_2=15.8$, $\gamma_3=16.5$, $k=14.4$.

формула (83), а для тяжелых дырок — формула (104) из [9]). Четвертым уравнением служило соотношение

$$k = \frac{2}{3}\gamma_2 + \gamma_3 - \frac{1}{3}\gamma_1 - \frac{1}{2}q - \frac{2}{3} - \frac{5}{4}\delta_{\text{обм}}, \quad (2)$$

где $q \approx 0$, а $\delta_{\text{обм}}$ — поправка, обусловленная нелокальностью потенциала. Для $T=77$ К $\delta_{\text{обм}}=0.20$ [10].

Решения, общие для уравнений (1) и (2), находились методом табуляции. Таким образом был найден набор параметров, удовлетворяющий значениям резонансных полей при $T=77$ К с большой точностью: $\gamma_1=33.2$, $\gamma_2=14.8$, $\gamma_3=15.5$, $k=13.4$.

На рис. 1 показаны рассчитанные нами энергии подзон легких и тяжелых дырок в зависимости от напряженности магнитного поля при $T=77$ К. На рис. 2 приведены энергии уровней легких дырок при $T=140$ К (энергии уровней тяже-

¹ Обозначения уровней соответствуют общепринятым [2, 3, 5, 8, 9].

лых дырок от температуры практически не зависят). Тут же приведены возможные переходы для МФР^h на LO-фононах. Из рис. 1 видно, что теоретические положения МФР на тяжелых дырках хорошо согласуются с экспериментально наблюдаемыми пиками и особенностями. Для каждого пика основной серии, обусловленной переходами с уровня $1b^-$, имеют место «спутники» — переходы типа $1a^- \rightarrow na^-$, а также межзонные переходы $-1a^+ \rightarrow na^-$.² Видно, что если первые переходы обусловливают уширение основного пика со стороны меньших магнитных полей, то вторые (межзонные) вызывают особенности в магнитных полях 286, 212 кЭ и т. д. при $H \parallel [111]$, т. е. те слабые пики, которые ранее обсуждались в работах [1, 4] (в [4] они обозначены как a_1 и a_2). Таким образом, можно считать установленным, что эти пики обусловлены переходами с уровней легких дырок на уровни тяжелых.

Нарушение периодичности³ по обратному полю основной серии для образца с большей концентрацией легких дырок в полях $120 \div 150$ кЭ вызвано МФР^l, а именно переходом $-1a^+ \rightarrow 0a^+$. При повышении температуры этот пик смещается в сторону слабых полей и при 140 К совпадает с переходом $1b^- \rightarrow 7b^-$ (рис. 2).

Хорошее согласие экспериментальных пиков в области $0 \div 50$ кЭ получено с теоретическими положениями МФР^l в магнитном поле, как это видно из рис. 1 и 2. При увеличении температуры в области $60 \div 110$ кЭ появляется широкий пик, на который накладываются осцилляции МФР^h. Относительное увеличение его интенсивности с температурой предполагает участие двухфононных процессов. Действительно, на рис. 2 показано положение двухфононного резонанса легких дырок, обусловленного переходом $-1b^+ \rightarrow 0b^+$ с участием двух LO-фононов. Уширение со стороны слабых полей этого пика, очевидно, вызвано участием в переходах других двухфононных комбинаций с меньшей энергией^[11]. Легко убедиться в том, что все они попадают в интервал полей $60 \div 100$ кЭ. Такие же двухфононные резонансы, обусловленные переходами $-1b^+ \rightarrow 1b^+$, имеют место в области $40 \div 50$ кЭ. Они вызывают уширение основного однофононного пика $-1b^+ \rightarrow 0b^+$ со стороны меньших магнитных полей.

В заключение отметим, что для эффективных масс тяжелых и легких дырок для направления [111] получены следующие величины: $m^-/m_0 = 0.393$, $m^+/m_0 = -0.0157$ при $T = 77$ К и $m^-/m_0 = 0.393$, $m^+/m_0 = 0.0147$ при $T = 140$ К.

Если включить полученные параметры Латинжера для расчета энергий уровней Ландау зоны проводимости, то получим хорошее согласие с экспериментальными положениями в магнитном поле исследованных ранее при $T = 77$ и 140 К резонансов на электронах с участием и без участия фононов.

Список литературы

- [1] Якунин М. В. // ФТП. 1987. Т. 21. В. 8. С. 1413—1418.
- [2] Kantskaya L. M., Kokhanovski S. I., Seysyan R. P., Efros Al. L. // Phys. St. Sol. (b). 1983. V. 118. P. 447.
- [3] Камеев Ю. Е., Парфеньев Р. В., Эфрос А. Л., Язева Т. В. // ФТП. 1984. Т. 18. В. 2. С. 206—211.
- [4] Якунин М. В. // ФТП. 1987. Т. 21. В. 8. С. 1931—1938.
- [5] Shinomae K., Senda K., Kasai K., Hamaguchi C. // J. Phys. Soc. Japan. 1980. V. 49. N 3. P. 1060—1068.
- [6] Имагилова Е. И., Лешко О. М., Шерегий Е. М., Тараканова Р. И. // Изв. АН СССР. Сер. Неогр. матер. 1989. Т. 25. В. 1. С. 9—12.
- [7] Угрин Ю. О., Шерегий Е. М. // ФТП. 1987. Т. 22. В. 8. С. 1375—1380.
- [8] Pidgeon C. R., Brown R. N. // Interband Magneto-Absorption and Faraday Rotation in InSb. 1966. V. 146. N 2. P. 575—583.
- [9] Aggarwal R. L. // Semiconductors and Semimetals. N. Y., 1972. V. 9. P. 169—184.
- [10] Гельмонт Б. Л., Сейсян Р. П., Эфрос А. Л. // ФТП. 1982. Т. 16. В. 5. С. 776—781.
- [11] Лешко О. М., Шерегий Е. М. // ФТП. 1987. Т. 21. В. 4. С. 694—699.

Дрогобычский государственный
педагогический институт
им. И. Франко

Получена 25.10.1989
Принята к печати 29.01.1990

² Межзонные переходы $-1b^+ \rightarrow nb^-$ практически совпадают с основной серией $1b^- \rightarrow nb^-$.

³ Не исключено, что оно может быть вызвано также антiperесечением уровней $0a^+$ и $7b^-$.